

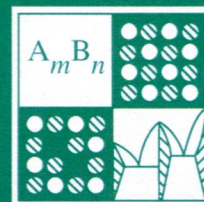
ISSN 0002-337X

Том 56, Номер 9

Сентябрь 2020



НЕОРГАНИЧЕСКИЕ МАТЕРИАЛЫ



www.sciencejournals.ru

СОДЕРЖАНИЕ

Том 56, номер 9, 2020

- Магнитная диаграмма твердых растворов $\text{Fe}_x(\text{Cu}_{0.5}\text{In}_{0.5})_{1-x}\text{Cr}_2\text{S}_4$
Т. Г. Аминов, Г. Г. Шабунина, Е. В. Бушева, Н. Н. Ефимов 931
- Катодолюминесценция твердых растворов $\text{Cu}_{2-x}\text{Zn}_{1+0.5x}\text{SnS}_4$, $\text{Cu}_{2-x}\text{ZnSnS}_4$
($0 < x \leq 0.30$) со структурой кестерита
М. В. Гапанович, И. Н. Один, М. В. Чукичев, Г. Ф. Новиков 943
- Переход метастабильных пирротинов в стабильное фазовое состояние
В. В. Онуфриенок, А. В. Чжан, Г. В. Бондаренко, Г. Ю. Юркин 948
- Об отклонении от правила Вегарда при росте давления в сплавах
М. Н. Магомедов 953
- Влияние грануляции и состава Ni-содержащей связки на самораспространяющийся высокотемпературный синтез карбидов системы Ti–Cr–C
Б. С. Сеплярский, Р. А. Кочетков, Н. И. Абзалов, И. Д. Ковалев, Т. Г. Лисина 959
- Влияние добавок титана на структурные особенности пористых материалов на основе никелида титана, полученных методом диффузионного спекания
С. Г. Аникеев, М. И. Кафтаранова, В. Н. Ходоренко, Н. В. Артюхова, А. С. Гарин, В. Э. Гюнтер 968
- Оптические свойства комплекса дифталоцианина лютетия с наночастицами карбида кремния
С. И. Расмагин 975
- О структурном совершенстве слитков карбида кремния большого диаметра
Ю. О. Быков, А. О. Лебедев, М. П. Щеглов 979
- Особенности формирования пористой структуры порошков тантала и ниобия при магнетермическом восстановлении танталата и ниобата лития
В. М. Орлов, М. В. Крыжанов, Е. Н. Киселев 986
- Получение и исследование свойств устойчивых суспензий порошков $\text{ZrO}_2\text{--Y}_2\text{O}_3$ различной дисперсности для электрофореза
Е. Г. Калинина, Е. Ю. Пикалова 993
- Влияние примеси фосфора в прекурсор на характеристики магнетермических порошков вольфрама
В. Н. Колосов, М. Н. Мирошниченко, В. М. Орлов 1001
- Исследование проводимости и диэлектрической проницаемости кристаллов прямого легирования $\text{LiNbO}_3\text{:Zn, Mg}$ в интервале температур 450–900 К
М. Н. Палатников, В. А. Сандлер, Н. В. Сидоров, И. В. Бирюкова, О. В. Макарова 1007
- Теплоемкость германатов RBiGeO_5 ($R = \text{Sm–Yb, Y}$) и $(\text{R}_{1-x}^1\text{R}_x^2)\text{BiGeO}_5$
($\text{R}^1 = \text{Y, R}^2 = \text{Pr, Nd}$)
Л. Т. Денисова, Ю. Ф. Каргин, Н. В. Белоусова, Л. А. Иртюго, В. М. Денисов, В. В. Белецкий 1014
- Формирование фаз перовскита и пиррохлора при механохимическом синтезе феррониобата свинца
А. А. Гусев, И. П. Раевский, В. П. Исупов 1020

Исследование теплофизических характеристик монокристаллов твердых растворов $\text{CaF}_2\text{--SrF}_2\text{--RF}_3$ ($R = \text{Ho, Pr}$) с флюоритовой структурой

С. В. Кузнецов, В. А. Конюшкин, А. Н. Накладов, Е. В. Чернова, П. А. Попов, А. А. Пыненков, К. Н. Нищев, П. П. Федоров

1027

Синтез и исследование спектрально-люминесцентных свойств оксифторидных стекол, легированных Eu_2O_3

Н. М. Кожевникова

1034

Керамический композит на основе карбида кремния, армированный волокнами SiC

М. Г. Фролова, Ю. Ф. Каргин, А. С. Лысенков, С. Н. Перевислов, Д. Д. Титов, К. А. Ким, Е. И. Истомина, А. В. Алпатов, К. А. Солнцев

1039
